# 虚血による崩壊心筋構成蛋白質の心臓リンパ液中での捕捉および抗狭心症薬開発への応用

研究課題番号 62480429

平成元年度科学研究費補助金 (一般研究B)研究成果報告書

平成2年3月

研究代表者 市 原 和 夫 (旭川医科大学医学部助教授)

#### はしがき

心臓が全身に血液を送り出すというポンプ機能を全うするためには、心筋が絶えず、規則正しく、収縮と弛緩を繰り返していなければならない。心筋も骨格筋と同様にミオシンとアクチンのスライディングにより収縮が起こるが、このとき、アデノシン三燐酸 (ATP)の加水分解によって得られる化学エネルギーが必要である。したがって、心筋がその収縮のために消費するエネルギーは莫大なものとなる。幸いなことに、心筋はミトコンドリアを多く含み、TCA回路や電子伝達系の発達した臓器であるので、糖質や脂肪酸、時には、アミノ酸などを基質として、好気的にエネルギーを産生するということは、冠動脈血液によって運ばれてくる酸素を使用して基質を燃焼しなければならず、心筋は運ばれてくる酸素を使用して基質を燃焼しなければならず、心筋は運ばれてくる酸素を最大限に摂取して利用している。したがって、もし心筋が利用できる酸素の量が低下すると、即座に心筋は好気的代謝が営めなくなって、エネルギー不足が起こり、心筋に種々の変化が起こってくる。

心臓を養っている冠動脈に通過障害が起こると、心筋組織への血液の供給が減少し、心筋細胞に対する酸素の供給が不足して、エネルギー不足となり、狭心症や心筋梗塞などの虚血性心疾患が発症する。虚血時間が短時間であったり、酸素不足の程度が軽微であると心筋に対する虚血の影響が可逆的であり、臨床症状は狭心症である。

#### The citric acid cycle

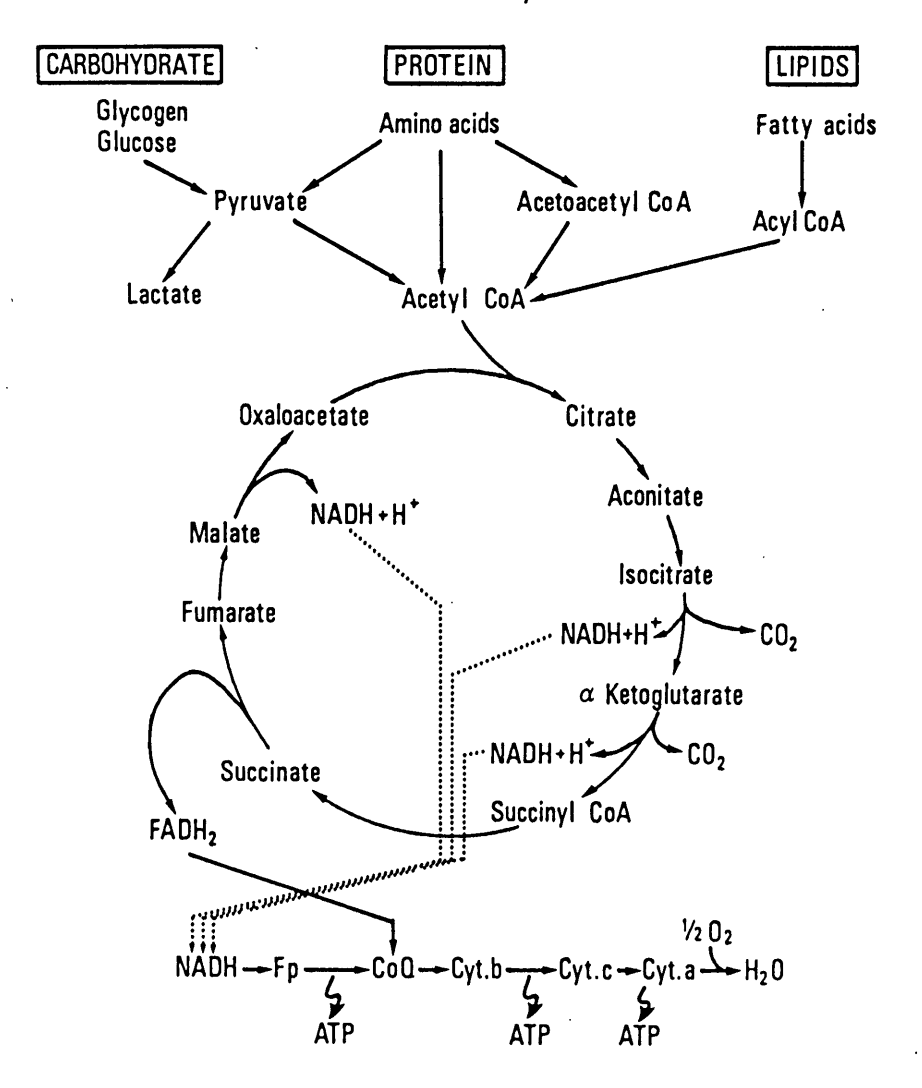


図 1 心筋組織における好気的エネルギー産生

しかし、虚血時間が長引いたり、酸素不足の程度が重篤になると心 筋に対する虚血の影響は不可逆的になり、臨床的には心筋梗塞とな る。この狭心症から心筋梗塞へ移行する過程では種々の変化が心筋 細胞内で起こっている。虚血になると心筋細胞は酸素不足の程度に 応じていろいろな障害を受ける。例えば、虚血早期から心筋組織の エネルギーが不足してATPやクレアチン燐酸などの含量が低下したり、 組織乳酸含量や脂肪酸含量が蓄積したり、血中に遊出したりする。 また、心筋アシドージスなども起こる。この時、細胞を障害するフ リーラジカルの発生や、カルシウムイオンの異常な蓄積も観察され る。虚血の程度が更に進むと、心筋細胞中に存在するリソゾーム顆 粒の中に含まれる蛋白分解酵素や核酸分解酵素などが細胞質中に遊 離して、活性化される。これら一群の分解酵素が活性化されると心 筋細胞の機能蛋白質や構成蛋白質などが分解され、破壊される。虚 血の程度が強くなると、乳酸脱水素酵素 (LDH) やクレアチンキナーゼ (CPK)、更には未知の蛋白質などが血中に出てくる。種々の組織で分 解した蛋白質の小片や、無機物などは静脈血中に排出されるが、比 較的分子量の大きい物質はリンパ液中に排出される。心臓において も、虚血によって分解された心筋細胞中の機能蛋白質や構造蛋白質 の一部、特に巨大分子量のものは心臓リンパ液中にでてくることが 知られている。したがって、本研究の目的は、血液中では検出され ない蛋白質断片を心臓リンパ液中で捕捉し、虚血になった心筋では、 どのような機能蛋白質、構造蛋白質が壊れているのかを知り、虚血 によって、心筋細胞が死んでいく過程を考察することにある。この

ような研究によって、虚血性心疾患において、狭心症から心筋梗塞 へと移行する過程が類推できるかもしれない。

#### 研究組織

研究代表者: 市原 和夫 (旭川医科大学医学部・助教授)

#### 研究経費

昭和62年度	4, 90	00千円
昭和63年度	1, 50	0 千円
平成 元年度	5 (	00千円
計	6, 9(	00千円

#### 研究発表

#### 市原和夫;

虚血障害と心臓リンパ中の蛋白質

第40回日本薬理学会北部会 1990年発表予定

#### K. Ichihara;

Cardiac lymph in the ischemic heart

Japanese Journal of Pharmacology 投稿予定, 1990年

#### 研 究 成 果

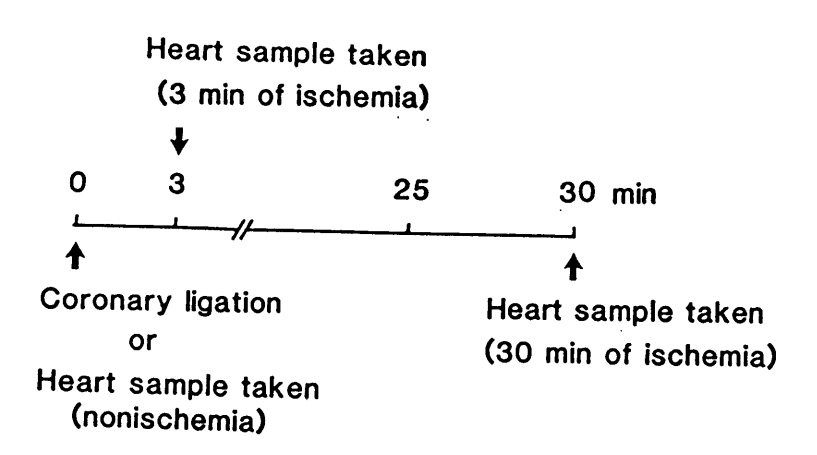
虚血になると、冠動脈によって運ばれてくる血液が来なくなるので、心筋細胞は酸素不足になり、好気的代謝が行えなくなって、エネルギー不足になる。エネルギーの供給が不足すると、心筋組織の代謝はいろいろな影響を受ける。私は、昭和60年度科学研究費補助金を得て、虚血になると心筋細胞中に含まれるリソゾーム顆粒が破裂して顆粒内の蛋白質分解酵素、拡散分解酵素などの種々の分解酵素が細胞質中に放出され、細胞構造を破壊するということを見いだした。本研究では、まず、虚血になったときの心筋組織のエネルギー状態がどのように変化するかを調べた。次にリソゾーム内の蛋白質分解酵素が細胞質中に遊離して、細胞の機能蛋白質、構造蛋白質を分解するなら、これら崩壊した蛋白質断片が心臓リンパ液中に捕捉できるか否かを検討した。

#### 実験方法

#### 心筋エネルギー代謝実験

体重10~20kgの雌雄雑犬をペントバルビタールナトリウム 30mg/kg を静脈内投与することによって麻酔をかけ、気管内装管術を施して人工呼吸器で人工呼吸をかけながら左胸部を第5と第6肋間で開胸した。心嚢膜を切開し、心臓の左心室を露出した。左冠動脈前下行枝の起始部から約1cmの部位を丁寧に剥離し、冠血流量測定用の微小電磁血流計プローブ(スカラー社製、MDL-1401)と冠動脈狭窄用のオクルーダーを装着した。冠動脈狭窄によって虚血になると思われる心筋部位に表面心電図導出用の電極を取り付けた。全身動脈圧は左大腿動脈から大動脈弓近傍まで挿入したカニューレから圧トランスデューサーを介し、また、心拍数は第II肢誘導の心電図波形からタコメーターを介して、それぞれポリグラフに入力、記録した。全ての準備が完了して各種のパラメーターが安定する約30分から1時間後に実験を開始した。

心筋組織のエネルギー代謝中間体を生化学的に定量して虚血による心筋のエネルギー状態を調べるために、冠動脈結紮直前、あるいはオクルーダーで冠動脈を結紮3分後、または結紮30分後にその冠動脈支配下の心筋を鋏ですばやく採取し、予め液体窒素で冷却しておいたクランプで瞬時に圧挫凍結固定した。実験プロトコールを図2に示す。このとき、心筋に方向性を持たせてクランプに挟むことに



#### 図 2 心筋エネルギー代謝実験のプロトコール

冠動脈結紮直前(0 min)、あるいはオクルーダーで冠動脈を結紮3分後(3 min)、または結紮30分後(30 min)にその冠動脈支配下の心筋を鋏ですばやく採取し、液体窒素で冷凍固定しサンプルとした。

よって心筋内膜側と外膜側に分け、心筋内膜側の心筋のみをサンプルとして採取した。凍結した心筋内膜側のサンプルは液体窒素温度下で乳鉢と乳棒を用いて微細粉末とし、少量の組織粉末をとって一昼夜オーブンに入れて組織水分含量を測定し、残りの組織粉末に3倍量の6%過塩素酸を加えて組織抽出液を作製した。11,000 r.p.m., 4°C,5分間の遠心分離で得られた上清に 1 M の3-[N-Morpholino]propanesulfonic acid (MOPS)を添加した後、70%KOHで中和した。この中和によって生じた過塩素酸塩を再び11,000 r.p.m., 4°C,5分間遠心分離することによって取り除き、上清をエネルギー代謝中間体濃度の定量に供した。エネルギー中間体としてはアデノシン一燐酸(AMP),アデノシン二燐酸(ADP),ATP、およびクレアチン燐酸(CrP)の濃度を酵素法によって測定した。心筋組織のエネルギー状態を知るためにエネルギー・チャージ・ポテンシャル(ECP)を次式にしたがって計算した。

([ATP] + 1/2[ADP])/([ATP] + [ADP] + [AMP])

#### 心臓リンパの実験

体重15~20 kgの雌雄雑犬にペントバルビタールナトリウム30mg/kg を静脈内投与することによって麻酔をかけ、気管内装管術を施して人工呼吸器で人工呼吸をかけながら正中切開を行った。電気メスで出血を抑えながら皮膚、筋肉組織、及び結合組織を切開しながら、胸骨を露出した。胸骨を電動鋸で切開して胸腔を開き心臓を露

出した。心嚢膜を切開したのち、上大静脈に絹糸をかけ軽く持ち上 げるようにして、胸腺を綿棒で丁寧に分け、心臓リンパ管のリンパ 節を露出した。通常、心臓リンパ節は上大静脈と腕頭動脈の間にあ った。心臓リンパ節の場所を図るに示す。心臓リンパ節から心臓へ 向かって走行するのリンパ管を綿棒を用いて丁寧に剥離し、絹糸を かけた。左心室筋に0.5%エバンスブルーを0.2 m1注射して数分経つ と、心室筋表面を走行するリンパ管にエバンスブルーが流れ込み、 青く染まった。このエバンスブルーが心臓リンパ管を通って、心臓 リンパ節に到達する頃、クリニックマイクロスコープ(甲南カメラ 研究所製、CLM-150)で覗きながら、心臓リンパ管をマイクロサージ ュリー用の剪刀で切開した。切開したリンパ管の心臓からリンパ液 が流れてくる方向に直径約1 mmのポリエチレンチューブを挿入し、 絹糸で固定した。ポリエチレンチューブの他方端を正中切開してい る上端のところまで導き咽頭のところで皮膚から出して絹糸で固定 した。ときどきヘパリン溶液を逆行性にポリエチレンチューブに注 入し凝固を防いだ。左冠動脈廻旋枝を剥離し、電磁血流計プローブ と冠動脈狭窄用のオクルーダーを装着し、プローブの端子とオクル ーダーの先端を背部の皮膚上に出し固定した。以上の準備が終了し た後、丁寧に閉胸した。ペニシリン(100万単位)あるいはセフェム 系の抗生物質(600mg)をに縫合した部位および筋肉内に投与した。、 覚醒した後も保温した室内で2日間飼育し実験に供した。ポリエチレ ンチューブからリンパ液が流出しているのを確認し、ときどきヘパ リン溶液でフラッシュした。

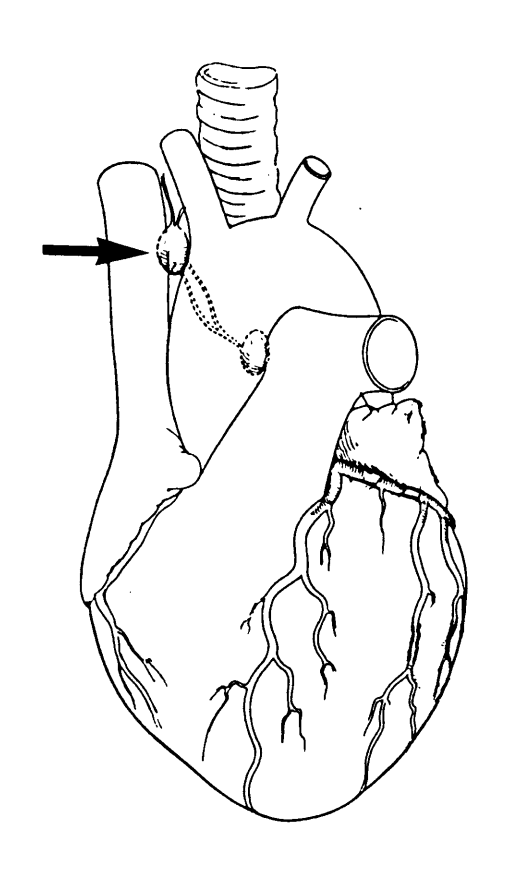


図 3 心臓リンパ節の大体の位置を示す模式図 矢印で示す位置に心臓リンパ節がある。

実験プロトコールとしてははじめにコントロールのサンプルとし て、冠動脈結紮前に流出してくるリンパ液を採取し、その後冠動脈 を結紮して30分後のリンパ液を採取した。リンパ液を採取するのに 約5分必要とした。採取したリンパ液は直ちに尿素と溶解液(9.5 M urea, 2% Nonidet P-40, 2% Ampholine (pH5-7, pH3.5-10), 5%  $\beta$ -mercaptoethanol) にて溶解し、二次元電気泳動用のサンプルとし た。二次元電気泳動法は基本的には0'Farrel1(1975)の方法にしたが った。等電点電気泳動用のゲルはurea 5.52g, acrylamide 1.33ml, 10% Nonidet P-40 2ml,  $H_2O$  1.97ml, Ampholine (pH5-7 0.4ml, pH 3.5-10 0.1ml)を溶解し、10% Ammonium peroxosulfate 10μ1とN.N. N',N'-Tetramethylethylenediamine(TEMED) 10μ1を加えて直ちに、 直径約3mm、長さ約12cmのガラスチューブに充填し、重合させた。 SDS電気泳動用のゲルは電気泳動用ガラス間隙に分離ゲル (1.5 M Tris-HCl pH8.8, 0.4% SDS, acrylamide 16.12ml, TEMED 27 $\mu$ l, Ammonium peroxosulfate 1.07ml) を充填し、直ちに濃縮ゲル (0.5 M Tris-HCl pH6.8, 0.4% SDS, acrylamide 1.5ml, TEMED 10 $\mu$ 1, Ammonium peroxosulfate 0.4ml) を上部に静かに乗せ、一昼夜放置 して重合させた。等電点電気泳動用のゲルを泳動槽にセットし、プ レランした後、溶解液に溶解したリンパ液サンプル (20μ1, 20μg protein) をのせ、400voltsで12時間、さらに800voltsで1時間泳動 した。等電点電気泳動が終了したゲルをガラスチューブから取り出 し、SDS電気泳動用ゲルの上部にのせ、5mAで約2時間、さらに20 mAでマーカーとして泳動液に添加したブロムフェノールブルーの色

が下方に到達するまで電気泳動を行った。泳動の終了したSDSゲルはガラスからはずされ、 $Coomassie\ B.B.$ 染色、あるいは銀染色にかけられた。

#### 実験結果

#### 心筋エネルギー代謝実験

麻酔開胸犬の左冠動脈前下行枝を30分間結紮したときの動物群の血行動態の変化を図4に示す。冠動脈結紮前5分間血行動態パラメーターを観察してから冠動脈結紮を施行した。冠動脈を結紮する前はほとんど全身血圧(収縮期血圧、拡張期血圧)、心拍数、冠血流量には変化が認められなかった。冠動脈を結紮するともちろん冠血流量は 0 m1/min になった。心拍数はほとんど変わらなかったが、収縮期血圧、拡張期血圧ともに冠動脈結紮初期に低下し、結紮30分後にはほとんど結紮前値に回復していた。冠動脈を結紮して心筋を虚血にすると、心室表面心電図上のST部分は上昇し、虚血30分後までほぼ持続していた。

左冠動脈前下行枝を結紮する直前あるいは結紮して3分後と、30分後に取り出した虚血心筋の組織 ATP、ADP、AMPおよび全アデニンヌクレオチド含量を図5および図6に示してある。冠動脈を結紮して心筋が虚血になると、組織ATP含量は虚血3分、30分と次第に減少した。組織ADPは虚血3分後に上昇したが、虚血30分後には虚血前値に戻っていた。組織AMP含量は虚血3分後に増加し、虚血30分後でもその増加は持続していた。組織ATP含量の低下を反映して全アデニンヌクレオチド含量も虚血3分、30分と次第に低下していた。組織 ATP、ADP、AMPおよび全アデニンヌクレオチド含量から計算したエネルギ

ー・チャージ・ポテンシャル (ECP) を図 7 に示してある。虚血前 0.9  $16 \pm 0.005$ の ECP値は虚血 3分後には  $0.854 \pm 0.007$ に減少し、虚血 30分後には  $0.801 \pm 0.017$ とさらに減少した。

組織クレアチン燐酸 (CrP) の虚血による変化を図8に示す。冠動脈結紮によってその初期に、組織 CrPは著明に低下するが、結紮30分後には多少回復してくる傾向にあった。

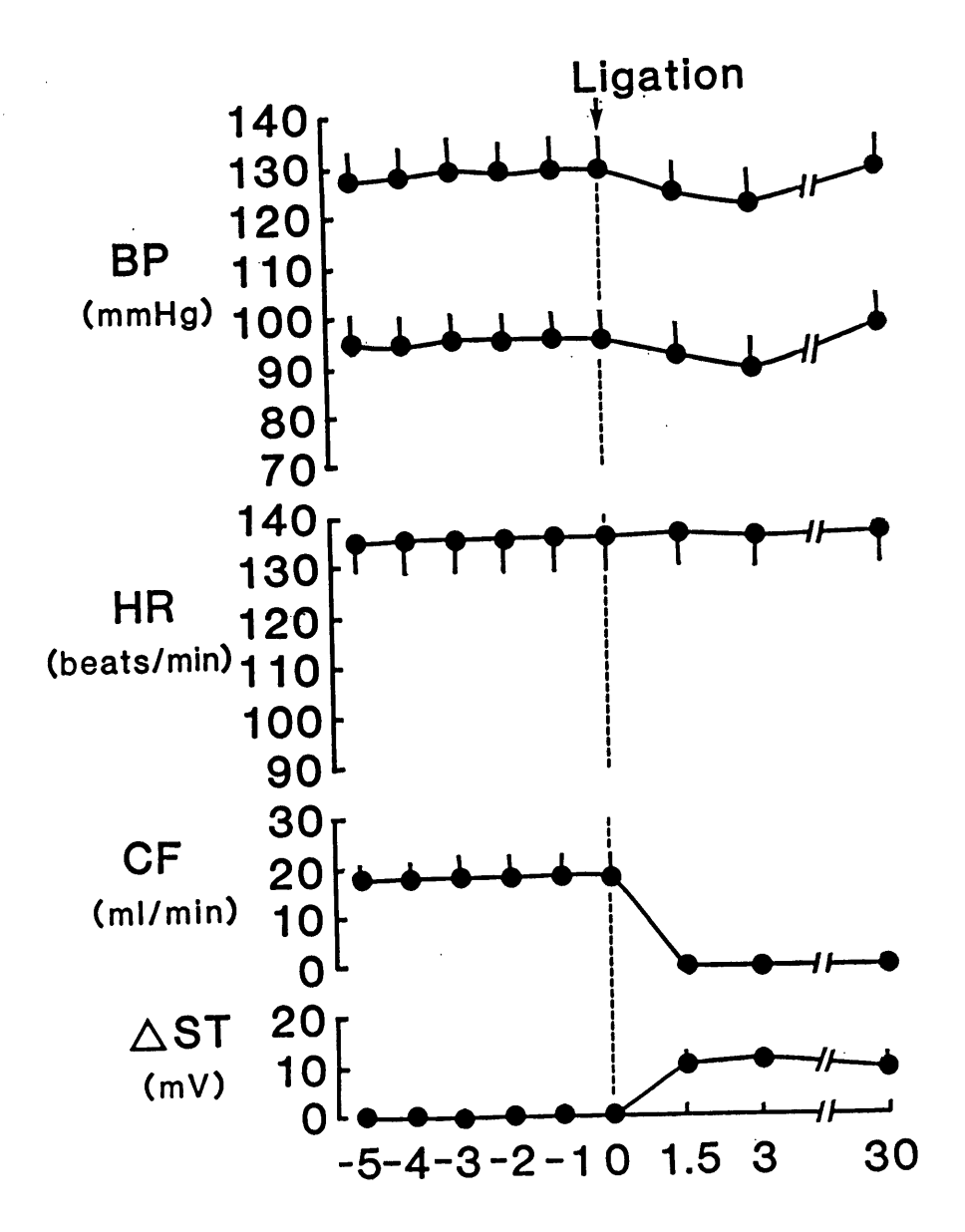


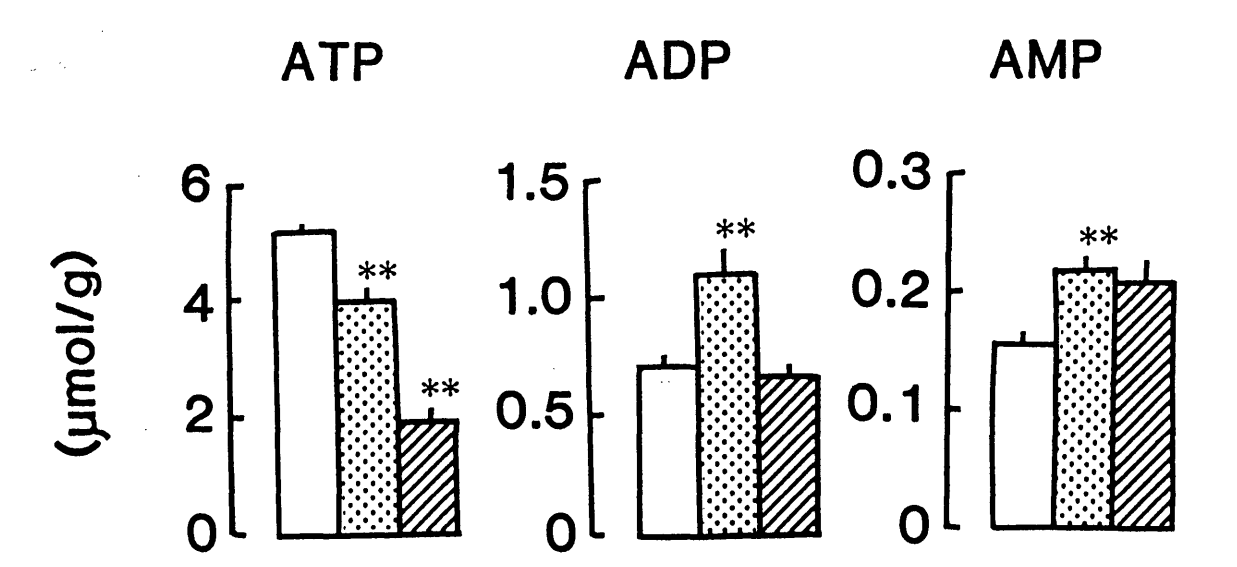
図 4 血行動態におよぼす虚血の影響

BP: 全身動脈圧 (上が収縮期血圧、下が拡張期血圧)

HR:心拍数

CF: 冠血流量

△ST:表面心電図上のST部分の変化

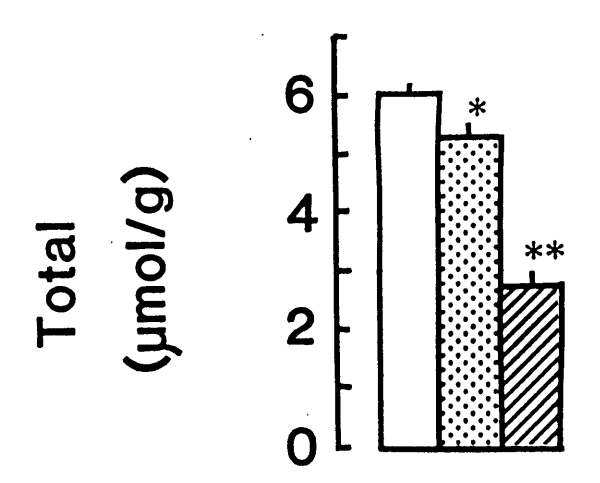


#### 図 5 虚血による心筋 ATP, ADP, AMP 含量の変化

心筋サンプルは冠動脈結紮直前(口)、結紮3分後(图)、

結紮30分後(図)に採取された。

\*\*P<0.01 結紮直前の値と比較。



#### 図 6 虚血による全アデニンヌクレオチド含量の変化

Total:全アデニンヌクレオチド

心筋サンプルは冠動脈結紮直前(口)、結紮3分後(図)、

結紮30分後(図)に採取された。

\*P<0.05;\*\*P<0.01 結紮直前の値と比較。

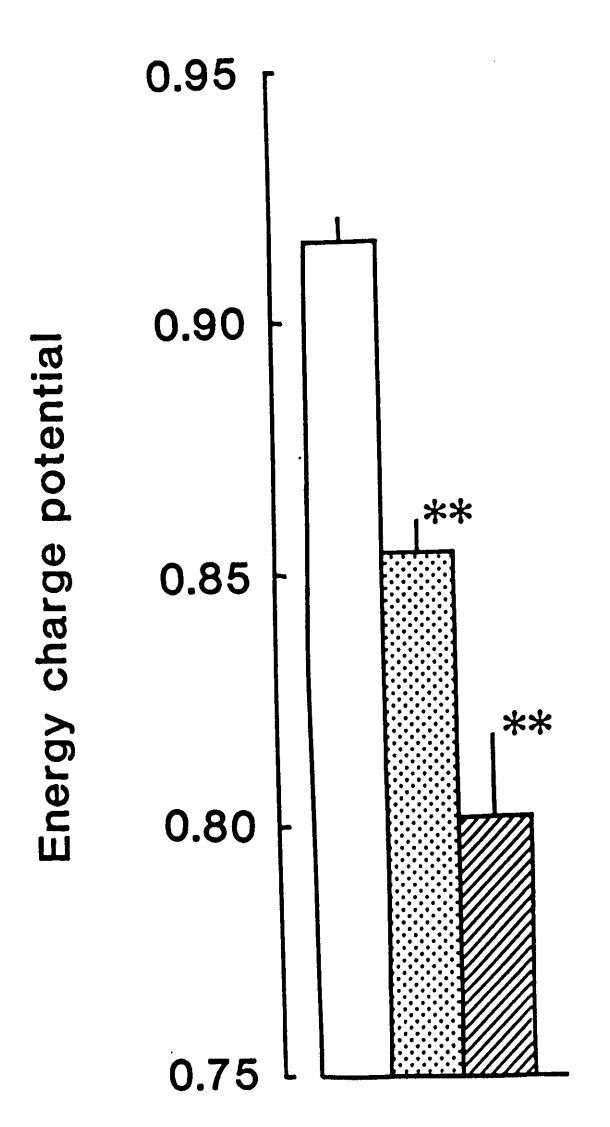
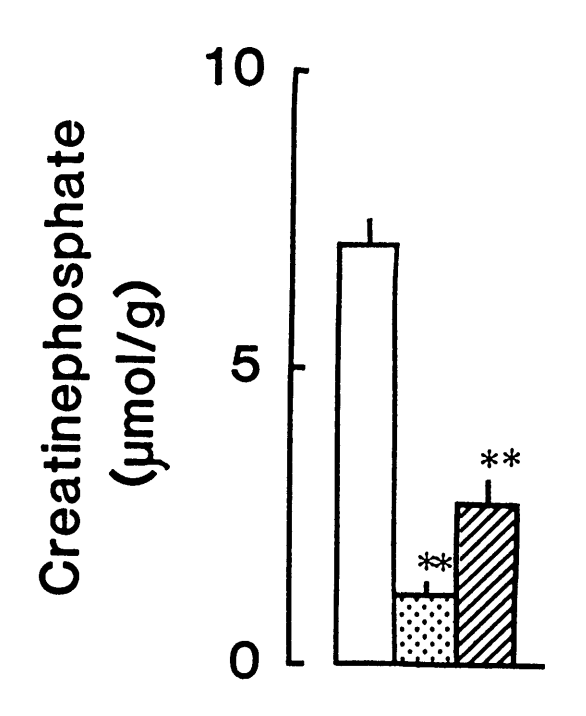


図 7 虚血によるエネルギー・チャージ・ポテンシャルの変化 エネルギー・チャージ・ポテンシャルはATP、ADP、AMPの値 から次の式により計算された。

([ATP] + 1/2[ADP])/([ATP] + [ADP] + [AMP]) 心筋サンプルは冠動脈結紮直前(□)、結紮3分後(図)、 結紮30分後(図)に採取された。

\*\*P<0.01 冠動脈結紮前値との比較。



#### 図 8 虚血による心筋クレアチン燐酸含量の変化

心筋サンプルは冠動脈結紮直前(□)、結紮3分後(図)、 結紮30分後(図)に採取された。

\*\*P<0.01 冠動脈結紮前値との比較。

#### 心臓リンパの実験

#### a. 心臓リンパ管へのカニュレーション

麻酔した犬を正中切開するとき、気をつけなければならなかった のは出血であった。そのため、切開には電気メスを使用し、絶えず 止血しながら手術を進めた。また、術後感染を防ぐために手術器具 は全て滅菌消毒し、なるべく無菌的に手術を行った。術後の抗牛物 質の投与もあって、閉胸覚醒後の生存率は90%に達するようになった。 心臓リンパ管を見つけるために左心室の心外膜側の筋肉に0.5%エバ ンスブルーを注射すると1分以内に左心室筋表面を走行するリンパ管 が青く染まってきた。約3分位すると図3に示すリンパ管も青く染ま ってきた。心臓から出て心臓リンパ節にはいる直前のリンパ管を綿 棒で丁寧に、約3 cm位剥離し、2本の絹糸をかけた。リンパ管は非常 に脆弱であるので、細心の注意を要した。リンパ節側の絹糸でリン パ管を結紮すると、心臓からくるリンパ液でリンパ管が膨らんでき た。図9に示すようなマイクロサージュリー用のピンセットと、バ ネ付きの鋏を用いて、リンパ管を切開した。このとき、膨らんでい たリンパ管からリンパ液が流出するため、リンパ管は瞬時に細くな ってしまった。切開部から心臓方向へ、直径約1 mmのポリエチレン チューブを挿入したが、この行程がいちばん困難で、成功率は、約 50%であった。リンパ管に挿入したポリエチレンチューブの反対側を 咽頭部で体外に出し絹糸で固定した。この後、左冠動脈廻旋枝の起 始部を剥離し、電磁血流計プローブと、冠動脈結紮用オクルーダー



図 9 心臓リンパ管にカニューレを挿入した時に用いたピンセットと鋏

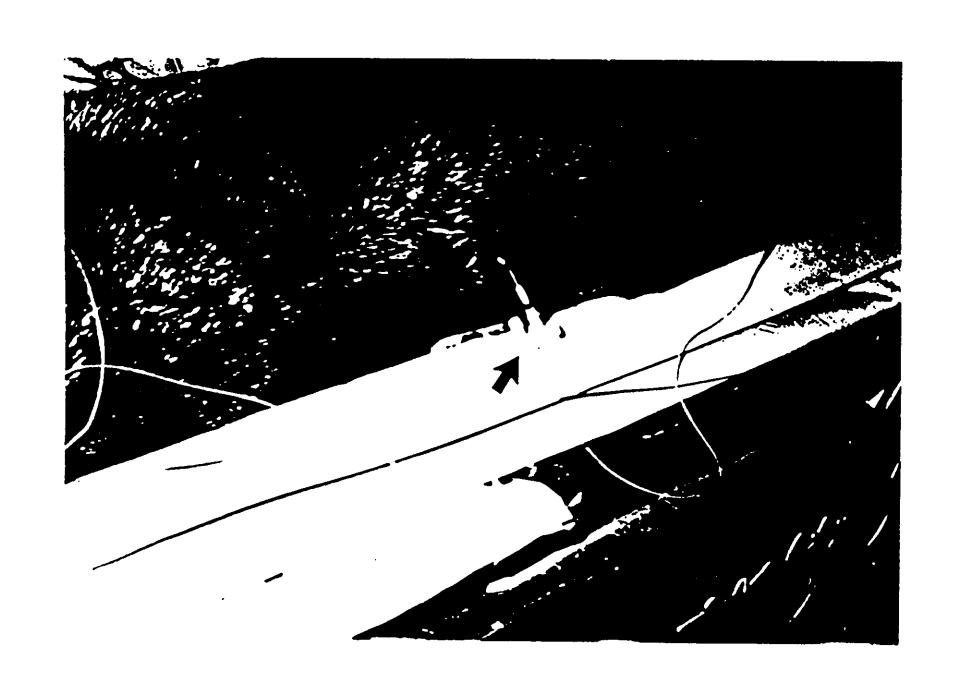


図 10 冠動脈結紮用オクルーダーの体外に出た部分

を装着し、それぞれの反対側を背部で体外に出した。図10に冠動脈結紮用オクルーダーの生理的食塩水注入部が体外に出ているところを示してある。

#### b. 心臓リンパ液の二次元電気泳動

心臓リンパ管にカニューレを挿入して約2時間後に採取した心臓リンパ液の二次元電気泳動のゲルを coomassie B.B.染色したときの結果を図11と図12に示す。図11では、一次目の等電点電気泳動に溶解液で処理した心臓リンパ液サンプルを40μg proteinアプライし、図12では、15μg proteinアプライした。図からも明らかなように蛋白量に比例して各スポットの大きさが異なっていた。ただし、図11の左上部にアルブミンの大きなスポットが見られるので、余り大量のサンプル(少なくとも40μg protein以上)は等電点電気泳動のゲル中に入って行かないことがわかった。したがって、以後の等電点電気泳動にアプライするサンプルの蛋白量は多くても20μg protein以下とした。

心臓リンパ管にカニューレを挿入した後2日間飼育してから動物が 覚醒している条件下で、採取した心臓リンパ液の二次元電気泳動パ ターンを図13と図14に示す。図13には冠動脈結紮前に採取した心臓 リンパ液の、図14には冠動脈を結紮してから30分後に採取した心臓 リンパ液の電気泳動パターンを示す。冠動脈結紮30分後に採取した 心臓リンパ液の二次元電気泳動パターンでは、全体に細かいスポッ トが数多く現れ、また図14中に矢印で示すクレアチンキナーゼと思



## 図 11 心臓リンパ管に挿管した2時間後に得られたリンパ液の 二次元電気泳動パターン

蛋白量として  $40 \mu g$  proteinのサンプルが一次元目の等電点電気泳動にかけられた。



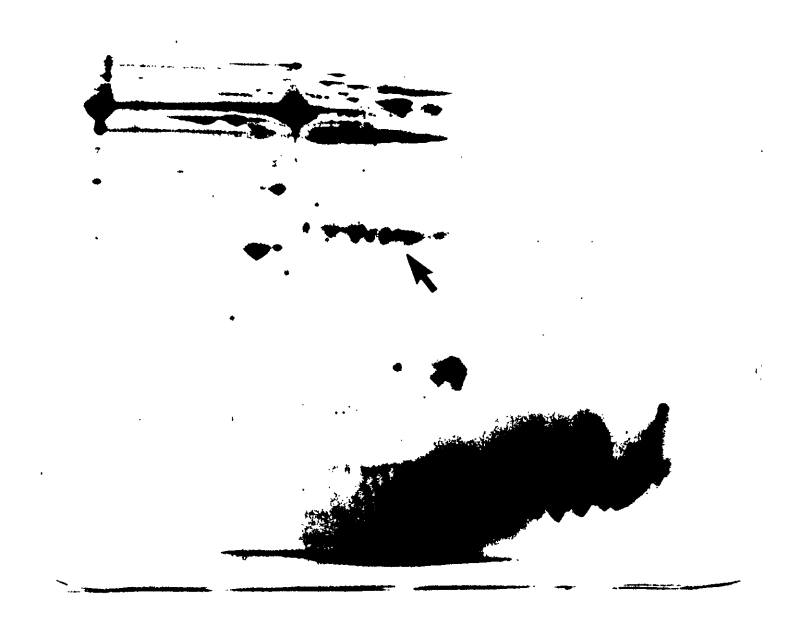
図 12 心臓リンパ管に挿管した2時間後に得られたリンパ液の 二次元電気泳動パターン

蛋白量として  $15\mu g$  proteinのサンプルが一次元目の等電点電気泳動にかけられた。



#### 図 13 心臓リンパ液の二次元電気泳動パターン

心臓リンパ管にポリエチレンカニューレを挿入する手術終了後2日目、冠動脈を結紮する直前にサンプルを採取した。蛋白量として  $20\,\mu\,\mathrm{g}$  proteinのサンプルが一次元目の等電点電気泳動にかけられた。



#### 図 14 心臓リンパ液の二次元電気泳動パターン

心臓リンパ管にポリエチレンカニューレを挿入する手術終了後2日目、冠動脈を結紮して30分後にサンプルを採取した。蛋白量として 20μg proteinのサンプルが一次元目の等電点電気泳動にかけられた。

われる部分のスポットが強く出現する傾向が認められた。

Coomassie B.B. で染色した場合、二次元電気泳動パターン上の小さいスポットがはっきりしないので、次に染色性能がより鋭敏な銀染色法を用いて実験を行った。はじめに、染色性能を比較するために犬の血漿をサンプルとして、血漿中のタンパク質を二次元電気泳動で展開した。結果を図15と図16に示す。図15は血漿サンプルの二次元電気泳動ゲルをCoomassie B.B.で染色した場合、図16は同一のサンプル、同量の二次元電気泳動ゲルを銀染色法で染めた場合を示してある。図からも明らかなように、銀染色では無数のスポットが検出されるのに対し、Coomassie B.B. で染色した場合はに検出されるスポット数は非常に少ない。

冠動脈を結紮する直前に得られた心臓リンパ液の二次元電気泳動の銀染色されたパターンを図17に、冠動脈結紮30分後に採取された心臓リンパ液の二次元電気泳動の銀染色パターンを図18に示してある。銀染色の場合は感度が増すので、一次元目の等電点電気泳動にアプライするサンプルの蛋白量は5μg proteinに減らしてある。図18に示すように、冠動脈結紮30分後の心臓リンパ液の二次元電気泳動パターンには、クレアチンキナーゼと思われるスポットが強く、しかも広がりを持って検出された。また、図18中に矢印で示すように、図17では認められなかったようなスポットがいくつか見いだされた。

冠動脈結紮30分という時間は、心筋の一部では不可逆性の変化が 起こるような時間なので、心臓リンパだけでなく、全身のリンパ液



### 図 15 Coomassie B.B.で染色した血漿蛋白質の二次元電気泳動 パターン

蛋白質として $10\mu g$  proteinの血漿サンプルを一次元目の等電点電気泳動にかけた。



図 16 銀染色した血漿蛋白質の二次元電気泳動パターン 蛋白質として10μg proteinの血漿サンプルを一次元目の 等電点電気泳動にかけた。



図 17 銀染色による心臓リンパ液の二次元電気泳動パターン 冠動脈結紮直前に採取した心臓リンパ液 5μg protein を一次元目の等電点電気泳動にアプライした。



図 18 銀染色による心臓リンパ液の二次元電気泳動パターン 冠動脈結紮30分後に採取した心臓リンパ液サンプル 5μg proteinを一次元目の等電点電気泳動にアプライし た。 冠動脈結紮前には認められなかったスポット (矢印) が散見される。

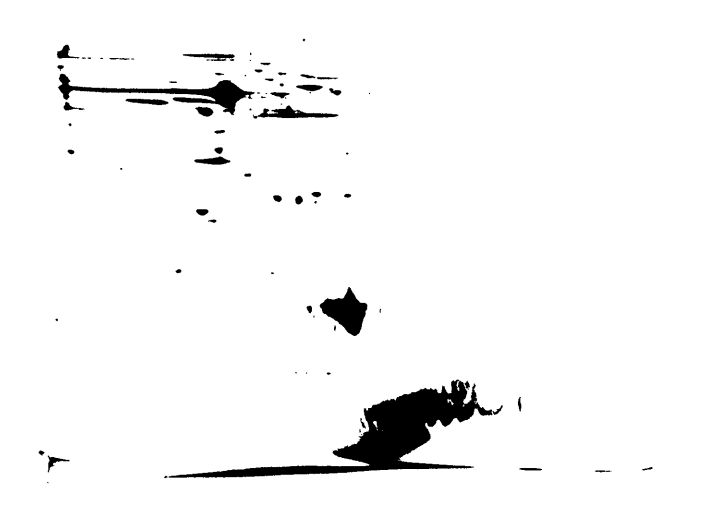


図 19 銀染色による鼠径部リンパ液の二次元電気泳動パターン 冠動脈結紮直前に鼠径部リンパ管から採取したリンパ液 サンプル 5μg proteinを一次元目の等電点電気泳動に アプライした。

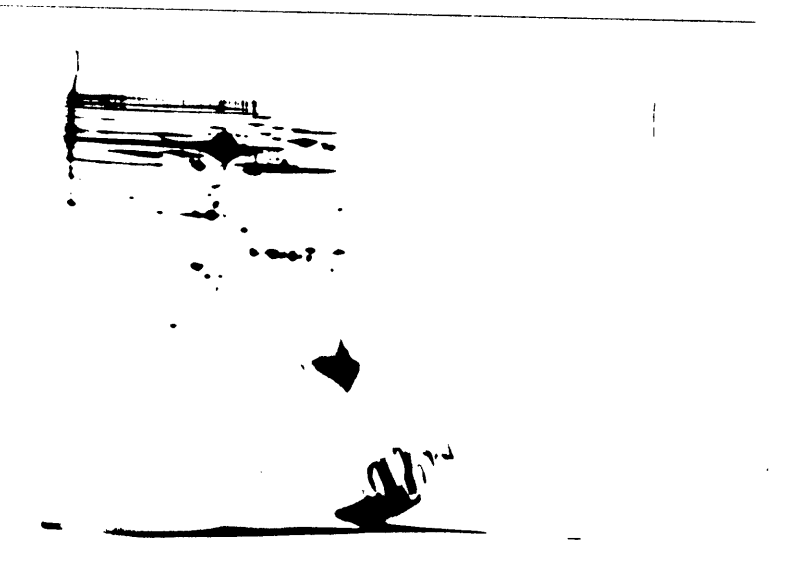


図 20 銀染色による鼠径部リンパ液の二次元電気泳動パターン 冠動脈結紮30分後に鼠径部リンパ管から採取したリンパ 液サンプル 5μg proteinを一次元目の等電点電気泳動 にアプライした。

中でも何か変化が観察されるのではないかと考え、鼠径部リンパ節よりリンパ液を採取し、二次元電気泳動で展開し、銀染色を施した。結果を図19と図20に示す。冠動脈結紮直前に鼠径部リンパ管から採取したリンパ液の二次元電気泳動パターンを図19に、冠動脈結紮30分後に採取したサンプルのパターンを図20に示してある。心臓リンパ液の二次元電気泳動パターンと比較して、鼠径部リンパ液のパターン中のスポットの数は少なかった。また、クレアチンキナーゼと思われるスポットもSDSゲル上で上下の広がりは観察されず分子量的には単一と思われた。冠動脈を結紮すると、クレアチンキナーゼと思われる部分のスポットが強く現れ、スポット数も増えていた。また、冠動脈結紮前には検出されなかった小さなスポットもいくつか検出されるようになった。したがって、心臓リンパ液で観察されることになった。

#### 考察

本研究ではまず、冠動脈結紮による虚血心筋のエネルギー状態が 調べられた。冠動脈結紮初期から組織ATP、クレアチン燐酸含量が低 下し、エネルギー・チャージ・ポテンシャルが低下した(図5,7,8)。 エネルギー・チャージ・ポテンシャルは、アデニンヌクレオチドの 中に細胞がエネルギーとして使用できる高エネルギー燐酸がどのく らい存在するかを示す指標であり、この値が低くなるということは、 その細胞のエネルギー状態が悪化していることを示す。虚血が30分 も続くと、その状態がさらに悪くなっていた。虚血30分後では心筋 ADP含量が虚血3分後よりも低下していた(図5)が、これは、図6で 全アデニンヌクレオチドが減少していることからもわかるように、 ATPの分解産物がどんどん細胞外に流出していることを反映している と考えられる。虚血が長く続くと、心筋組織の収縮機能が低下する だけでなく、細胞構造にも破綻がくる。心筋細胞中のリソゾーム顆 粒が破裂して、中に含まれる種々の蛋白質分解酵素が細胞質中に放 出され、細胞の機能蛋白質や構造蛋白質を破壊する(Ichihara et al., 1987)。 分解されたり、切断されたりした蛋白質は、心臓リン パ液中に排泄されることが知られている (Michael et al., 1979)。 本研究では、虚血によるエネルギー状態がかなり悪化している冠 動脈結紮30分後の心臟リンパ液を二次元電気泳動法を使用して調べ た。結紮30分後の心臓リンパ液の二次元電気泳動パターンでは、結

紮前には認められなかった小さな蛋白質のスポットがたくさん見ら

れ、特に銀染色したときは、その傾向が強く現れた(図18)。また、 クレアチンキナーゼと思われるスポットは心臓リンパ液では、虚血 前でもSDSゲルの上下に多少広がっており、分子量の異なるいく つかの断片になったものが、心臓リンパ液中に出ていることが示唆 された(図17)。冠動脈結紮30分後ではその傾向がさらに強くなっ ていた。これらの結果は、もともと心臓リンパ液中には、心筋細胞 で処理された蛋白質が排出されているが、虚血になると切断される 蛋白質の量も増え、断片の種類も増えてくるものと思われる。驚い たことに、心臓リンパ液中のみならず、鼠径部のリンパから採取し たリンパ液中にも冠動脈結紮によると思われる蛋白質断片が検出さ れ、クレアチンキナーゼの分解も認められた。特に、虚血前のクレ アチンキナーゼは等電点電気泳動で分別されるいくつかのアイソマ ーは認められたが、分子量的には、ほぼ均一であった(図19)。し かし、虚血30分するとSDSパターンがブロードになり、多少分解 したクレアチンキナーゼが鼠径部リンパにも認められることになっ た。虚血前に採取した鼠径部リンパ液の二次元電気泳動パターンと 比較すると、心臓リンパ液では、虚血前でも分解したクレアチンキ ナーゼが認められることがよくわかる(図17、図19)。今回、心臓 リンパのみならず、鼠径部リンパでも認められた蛋白質断片が何で あるか、クレアチンキナーゼを除いては弁別する手段がなく、今後 の問題として残った。また、クレアチンキナーゼにしてもどのよう な崩壊の仕方をしているのかにも非常に興味がある。二次元電気泳 動によって、蛋白質量が定量されることもわかったので、崩壊蛋白

質の量を測定することによって、虚血の程度を推測することができるかもしれないという期待ももたれる。これらの虚血による心筋細胞内機能蛋白質や構造蛋白質を抑制する薬物の開発についてはさらに検討を要する。カルシウム拮抗薬であるジルチアゼム(Ichihara et al., 1987)、蛋白質分解酵素阻害薬であるNCO-700(Ichihara et al., 1990)が虚血による心筋細胞内リソゾーム顆粒の破裂を抑制することを報告しているので、これらの薬物が虚血による心筋蛋白質の崩壊を抑える可能性は十分に考えられる。

#### 引用文献

- O'Farrell, P.H.: High resolution two-dimensional electrophoresis of proteins. J. Biol. Chem. 250: 4007-4021, 1975.
- Ichihara, K., Haneda, T., Onodera, S. and Abiko, Y.: Inhibition of ischemia-induced subcellular redistribution of lysosomal enzymes in the perfused rat heart by the calcium entry blocker, diltiazem. J. Pharmacol. Exp. Ther. 242: 1109-1113, 1987.
- Michael, L.H., Lewis, R.M., Brandon, T.A. and Entman, M.L.:

  Cardiac lymph flow in conscious dogs. Am. J. Physiol.

  237: H311-H317, 1979.
- Ichihara, K., Hayase, N., Chiba, K., Parvez, H. and Abiko, Y.

  : Effects of NCO-700, an inhibitor of protease, on
  lysosomal rupture in the ischemic myocardium.

  J. Pharmac. Sci. in press, 1990.